



最新5年高考真题分类优化精练

(新教材版)

编写说明

《最新5年高考真题分类优化精练》包括语文、数学、英语、物理、化学、生物、思想政治、历史、地理等九大学科，其中语文、数学、英语每科20套，物理、化学、生物、思想政治、历史、地理每科16套。本套试卷是由全国各地教研员根据最近5年高考全国卷及各地方版高考卷精心选编而成。

《最新5年高考真题分类优化精练》具有如下特点：

1. 真题分类科学、合理，准确性高

依据教材目录顺序，切准考点，精准复习。选题紧扣教材章节内容，主要突出主干知识点和重难点，使考生复习时有的放矢，极大提高复习备考效率。

2. 试题选取典型、突出，针对性强

通过高考真题在各重要知识点上的表现形式和频率，选取与最新考试大纲和考试说明要求高度一致的典型真题，从而提高复习备考的针对性和有效性。

3. 内容选编丰富、翔实，导向性准

本卷选题以全国卷为主，部分选编浙江、山东、辽宁、湖南等地方省市的自主命题，以便学生拓展视野，熟悉各种不同风格的题型，导向精准。

4. 答案解析科学、详尽，实用性强

为满足广大高三师生复习备考的需要，本卷均配有详细精准的答案和解析，能使考生全面理解高考的命题角度和解题思路，极大提升考生的解题能力和应试技巧。

《最新5年高考真题分类优化精练》是对最新课程标准的最好诠释，也是对命题规律和趋势最好的解读，更是学生一轮复习备考阶段的必备参考资料。

《最新5年高考真题分类优化精练》编委会

2023年1月

地理目录

CONTENTS

地理卷(一) 地球地图

地理卷(二) 地球上的大气 大气的运动

地理卷(三) 地球上的水 水的运动

地理卷(四) 地貌 地表形态的塑造

地理卷(五) 植被与土壤 自然灾害 自然环境的整体性和差异性

地理卷(六) 自然地理综合

地理卷(七) 人口 乡村和城镇

地理卷(八) 产业区位因素

地理卷(九) 交通运输布局与区域发展 环境与发展

地理卷(十) 人文地理综合

地理卷(十一) 区域与区域发展 资源、环境与区域发展

地理卷(十二) 城市、产业与区域发展 区际联系与区域协调发展

地理卷(十三) 区域发展综合

地理卷(十四) 资源、环境与国家安全综合

地理卷(十五) 区域地理

地理卷(十六) 高考内容综合测试

地理卷(三)参考答案

1. D 亚得里亚海位于地中海沿岸,受地中海气候影响明显,其南部受副高控制时间长,晴天多,降水少,蒸发旺盛,盐度较高,丙地在四地中纬度最低,受副高控制时间最长,其盐度最高;甲地纬度最高,受副高控制时间短、受西风带影响时间长,且北部有大量河流注入,盐度最低;乙地和丁地处于同纬度地区,降水量与蒸发量较为接近,但乙地有河流注入,使其盐度较丁地低。因此,甲、乙、丙、丁四处表层海水盐度由高到低的顺序是丙、丁、乙、甲。
2. C 从材料可知,亚得里亚海海区洋流是地中海洋流系统的一部分,且洋流在海湾内运动,促使海水更新,说明亚得里亚海内部形成一个洋流环流。该地位于北纬 40° 以北,受盛行西风带影响显著,受西南风影响,亚得里亚海东海岸自南向北进入海湾,沿海湾环形运动,在亚得里亚海西海岸由北向南出海湾。因此,亚得里亚海东岸表层洋流为暖流,丙处位于亚得里亚海与地中海交界位置附近,且该海域有明显的喇叭口形状,受狭管效应影响,该处流速较丁处快。
3. A 据图可知,在北大西洋中超强气旋频率最高的位置出现在 $60^{\circ}\text{N} \sim 70^{\circ}\text{N}$ 之间。副极地低气压带位于 60°N 到北极圈附近,与超强气旋频率最高的位置接近;副热带高气压带位于回归线与 30° 附近,并不在超强气旋频率最高的位置附近;极地东风带与盛行西风带分别位于副极地低气压带两侧,与超强气旋频率最高的位置较为接近;东北信风带位于北半球低纬度地区,位置差异明显。
4. C 甲区域与乙区域均位于北半球中高纬地区,甲附近为北大西洋暖流,乙附近为北太平洋暖流,两暖流都为风海流,受盛行西风带影响显著,墨西哥湾圆弧状的陆地轮廓对于墨西哥湾暖流的阻挡较小,墨西哥湾暖流顺着北美大陆南侧往东流动,直接进入广阔的大西洋海域,墨西哥湾暖流推动加上盛行西风的推动作用,一定程度上使得甲区域暖流更强,与离岸流、上升补偿流并无关联。
5. D 图中甲洋流是西风漂流,位于南半球,南半球中高纬度没有副极地环流圈;西风漂流环绕南极流动,从南极上空看是顺时针;西风漂流是在南半球西风带影响下形成的,和极地东风关系不大;西风漂流纬度较高,靠近南极大陆,水温较低,是寒流。
6. C 据图可知,①处洋流向北流,应该是寒流,对沿岸起到降温减湿作用;②处峡湾地貌是冰川侵蚀形成的,和洋流关系不大;③处位于西风带,有西风漂流流经,西风风力大,导致西风漂流流速快,洋流遇陆地阻挡,浪高,因此行船时流急浪高;④处受极地东风影响,不是离岸风,也不是寒暖流交汇,因此没有世界著名渔场。
7. B 由材料并结合所学知识分析可知,该海域冬春季节西风漂流带来的南极冷水势力强,海水表面温度降低,冷暖水混合区向北移动,鱼群向北洄游,夏秋季节冷水势力减弱,混合区向南移动,鱼群向南洄游,因此,影响智利竹筍鱼洄游路线的主要因素是海水温度;该区域受盛行西风(南半球为西北风)影响,竹筍鱼的洄游方向大致自东南向西北,与盛行风向相反,洄游路线与距陆远近无明显关联,从材料中信息无法推测种群规模对洄游路线的影响。
8. B 厄尔尼诺年,该海域水温较正常年份偏高,幼鱼活动范围应向高纬方向扩展,即向南偏移;拉尼娜年,该海域水温较正常年份偏低,幼鱼活动范围应向低纬方向扩展,即向北偏移。
9. C 由图文信息可知,奥赫里德湖是沿断层形成的典型构造湖,地形封闭,海洋水汽难以到达,位于巴尔干半岛,属于地中海气候,年降水量较少;从图中可以看出,奥赫里德湖几乎无河流注入;题干材料提示,奥赫里德湖东侧的加利契察山岩性为石灰岩,石灰岩吸水性强,含水量大,可以为奥赫里德湖提供稳定的水源;该地区纬度较低,海拔较低,几乎没有终年积雪。
10. D 由图文信息可知,两湖的纬度和海拔相差不大,因此水温差异不大;奥赫里德湖面积更大,水深更深,水量更大,渔业资源应更丰富,但实际渔产不如普雷斯帕湖丰富,因此水深和水量不是导致两湖渔产差异的主要因素;影响渔业资源主要因素是饵料,奥赫里德湖是欧洲透明度最高的湖泊,水质好,营养盐类少,饵料不足,渔产不丰。

11. A 由左图可知,当流量从 $14\ 278\ m^3/s$ 降至 $6\ 888\ m^3/s$ 时,深槽区的流速都大于 $0.5\ m/s$,大于泥沙起动流速,会受到侵蚀;而边滩体流速快速降到 $0.25\ m/s$ 以下,低于泥沙起动流速,说明边滩体以沉积为主,面积扩大。
12. A 近年来长江中游边滩体萎缩,与三峡大坝蓄水拦沙直接关联,进入水库的泥沙大量沉积于库区,输往中游的泥沙大幅度减少,边滩沉积作用减弱;三峡水库调节中下游的流量,水位不一定升高;护岸工程会保护边滩不受侵蚀,边滩不一定萎缩;受三峡水库的调节,洪峰流量会减小。
13. D 读图可知,该湖泊的降水量和蒸发量变化不大,但该湖泊地表径流输入量变化明显,材料信息表明,湖滨地下水与湖泊相互补给量较少,根据湖水收支变化状况判断,引起该湖泊近 60 年水量变化的主导因素是地表径流量。
14. B 材料信息表明,湖滨地下水与湖泊互为补给,补给方向取决于两者水位高低。读图可知,1961~1969 年,入湖径流量与降水量之和大于蒸发量,湖水水位应上升,此时期湖水补给湖滨地下水;1970~1989 年,入湖径流量与降水量之和小于蒸发量,湖水水量明显减小,水位明显下降,此时期湖滨地下水补给湖水明显;1990~2020 年,入湖径流量与降水量之和略大于蒸发量,湖水水位缓慢上升,此时湖滨地下水与湖水之间相互补给量不大。因此,湖滨地下水补给该湖泊较多的时期是 1970~1989 年。
15. D 据上题分析可知,20 世纪 80 年代湖水水位明显下降,而 2000 年以来湖水水量略有上升,湖水水位略有上升,水面扩大,该湖泊湖岸地区出露的湖滩减少,沙源减少,为周边提供较多的水源,有可能绿洲面积增加。2000 年以来入湖地表径流量比 20 世纪 80 年代明显增加,利用入湖河流水源进行灌溉的用水量可能减小,当地灌溉面积扩大的可能性小;入湖径流增加,湖水水位上涨,湖岸线应向陆地方向后退,两时期相比海岸线不稳定。
16. (1)冰雪融水、雨水、地下水(3 分)
(2)差异:布拉马普特拉河月均流量较大;布拉马普特拉河峰值较早。(2 分)成因:布拉马普特拉河流域降水量大,雨季长。(2 分)
(3)有利影响:促进三角洲的形成与发育;提供水源等。不利影响:引发洪涝灾害。(4 分)
(4)兴修水库,调节径流;加强区域合作;节约利用水资源;合理利用地下水等。(4 分)
17. (1)此期间纳木错东侧区域位于西风下风向,西风影响加强;西风经过湖区时,湖泊为西风提供热量和水汽;湖泊东侧区域地形较高,易产生地形雨。(4 分)
(2)那曲凹岸处向东侵蚀,雄曲凹岸处向西侵蚀;侵蚀持续进行,分水岭将被切开;发生河流袭夺,两河流连通。(6 分)
(3)两湖分水岭海拔低于 $4\ 740\ m$;纳木错湖面海拔曾达到 $4\ 748\ m$,高于分水岭和仁错湖面海拔,说明两湖曾经贯通;随着全球变暖,注入两湖的冰雪融水和降水增加,湖面上涨;如果湖面上涨超过分水岭海拔,两湖将再次贯通。(4 分)
18. (1)上游植被破坏,水土流失加剧,河流向巢湖输入的泥沙增加;开垦过度,围湖造田,导致巢湖水域面积缩小,巢湖岸线后退;河流在三河镇以下河段平坦、松散的沉积物上侧蚀冲刷出新的河道,河流延长。(6 分)
(2)圩田海拔低于巢湖湖面,易受湖水倒灌;降水季节分配不均,夏季降水量大,尤其梅雨期降水时间长;地势平坦,水流缓慢,排水不畅;农田水利设施落后;围湖造田、上游水土流失,巢湖淤积,水位抬高。(6 分)
19. (1)北部受盛行西风吹拂,洋流自西向东流动;强劲的极地东风使罗斯海南部洋流向西流动;受罗斯海大陆轮廓约束,促使罗斯环流形成;罗斯海相对于周围的南极大陆气温较高,形成一个局部的南半球气旋(顺时针方向),进一步推动罗斯环流的形成。(6 分)
(2)受到极地东风的吹拂,向西北方向漂移;受到罗斯环流的影响,沿着环流顺时针漂移;受到地转偏向力影响,向左偏移。(4 分)
(3)降雨使海冰冰面反射率降低,获得太阳辐射更多,冰温升高;降雨直接传递给海冰较多热量;降雨形成冰面径流,侵蚀破坏冰层,造成冰层裂解,成为浮冰,浮冰与海水热交换更活跃,减少了积雪层“隔热保冷”的作用;降水难以固态形式储存,导致海冰缺乏补给,积累量小于消融量等。(4 分)

最新 5 年高考真题分类优化精练 · 地理卷(三)

地球上的水 水的运动

满分分值: 100 分

本卷主要精练内容: 水循环、海水的性质、海水的运动、陆地水体及其相互关系、洋流、海—气相互作用。

一、选择题(本大题共 15 小题,每小题 3 分,共 45 分。在每小题给出的四个选项中,只有一个选项是符合题目要求的)

(2022·山东卷)亚得里亚海是地中海的一个海湾(如右图),其洋流是地中海洋流系统的一部分。洋流在海湾内的运动促进了海水更新。据此完成 1~2 题。

1. 图示甲、乙、丙、丁四处表层海水盐度由高到低的顺序是

- A. 甲、乙、丁、丙
- B. 甲、丁、乙、丙
- C. 丙、乙、丁、甲
- D. 丙、丁、乙、甲

2. 亚得里亚海东岸表层洋流

- A. 为寒流,且丙处流速大于丁处
- B. 为寒流,且丁处流速大于丙处
- C. 为暖流,且丙处流速大于丁处
- D. 为暖流,且丁处流速大于丙处

(2022·广东卷)某研究统计了 50°N 以北地区 1979~2016 年发生的所有气旋,并将中心气压值最低的前 5% 的气旋定义为超强气旋。右图示意该地区 1979~2016 年超强气旋总频数空间分布。据此完成 3~4 题。

3. 影响图中北大西洋地区超强气旋生成的气压带、风带主要是

- ①副极地低气压带
- ②副热带高气压带
- ③极地东风带
- ④盛行西风带
- ⑤东北信风带

- A. ①③④
- B. ①③⑤
- C. ②③④
- D. ②④⑤

4. 冬季甲区域的超强气旋比乙区域多发,从洋流的影响考虑,是因为甲区域

- A. 寒流的范围更广
- B. 离岸流规模更大
- C. 暖流的势力更强
- D. 沿岸上升流更盛

(2020·浙江卷)右图为世界部分区域洋流分布示意图,图中虚线代表洋流。据此完成 5~6 题。

5. 图中甲洋流

- A. 位于副极地环流圈
- B. 呈逆时针方向流动
- C. 受极地东风影响大
- D. 在性质上属于寒流

6. 关于图中洋流的影响,叙述正确的是

- A. ①处夏季时温和多雨
- B. ②处分布着峡湾地貌
- C. ③处行船时流急浪高
- D. ④处有世界著名渔场

(2022·湖北卷)智利竹筍鱼是世界上主要的海洋经济鱼种之一,广泛分布于南太平洋水域。右图示意智利竹筍鱼洄游路线。据此完成 7~8 题。

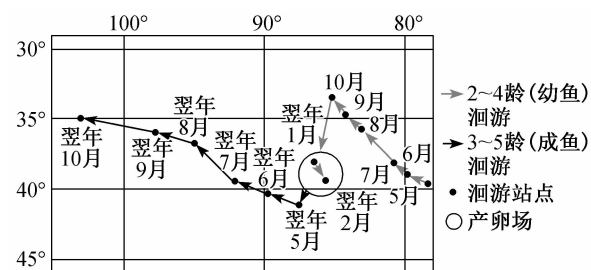
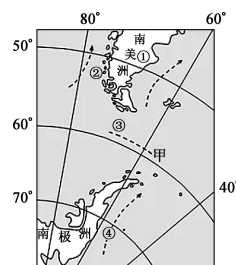
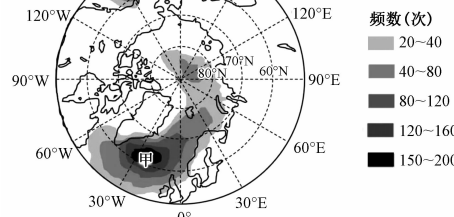
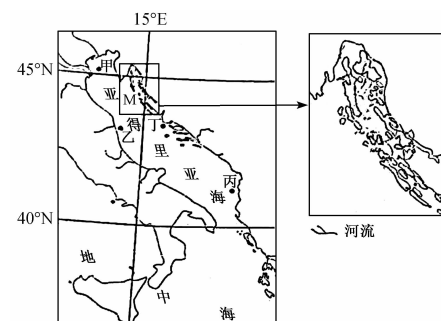
7. 影响智利竹筍鱼洄游路线的最主要因素是

- A. 盛行风向
- B. 海水温度
- C. 距陆远近
- D. 种群规模

8. 与正常年份相比,该海域幼鱼的活动范围

- ①厄尔尼诺年,向南偏移
- ②厄尔尼诺年,向北偏移
- ③拉尼娜年,向南偏移
- ④拉尼娜年,向北偏移

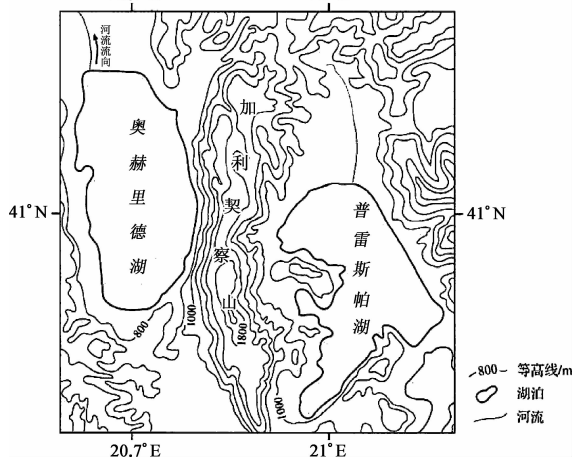
- A. ①③
- B. ①④
- C. ②③
- D. ②④



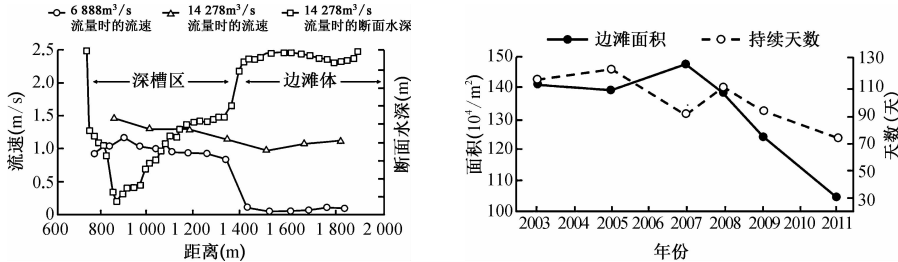
(2020·山东卷)奥赫里德湖和普雷斯帕湖位于巴尔干半岛,是沿断层形成的典型构造湖,由岩性为石灰岩的加利契察山相隔。奥赫里德湖面积348 km²,湖面海拔695 m,平均深度144.8 m,湖水透明度21.5 m,是欧洲透明度最高的湖泊,渔产不甚丰富;普雷斯帕湖面积275 km²,湖面海拔853 m,平均深度18.7 m,湖水透明度1.5~7.2 m,透明度湖心最大、近岸较小,渔产颇丰。据此完成9~10题。

9. 奥赫里德湖湖水的主要补给来源是
 A. 雨水 B. 河流水
 C. 地下水 D. 冰雪融水

10. 导致两湖渔产差异的主要因素是
 A. 水温
 B. 水深
 C. 水量
 D. 水质



(2021·广东卷)边滩是由于河流沉积作用形成的与河岸相连的泥沙质堆积体。三峡水库运行后,长江中游边滩整体呈萎缩态势。研究表明,长江中游某段河道河床泥沙起动流速在0.25~0.50 m/s之间。下面左图示意该段河道某断面在不同流量时的流速与水深情况,右图示意该段河道流量超过15 000 m³/s的持续天数与边滩面积关系。据此完成11~12题。



11. 由左图可知,当流量从14 278 m³/s降至6 888 m³/s时,该河段
 A. 侵蚀主要发生在深槽区,边滩体扩大
 C. 侵蚀主要发生在边滩体,深槽区扩大
 B. 侵蚀主要发生在边滩体,深槽区缩小
 D. 侵蚀主要发生在深槽区,边滩体缩小

12. 根据右图,近年来长江中游边滩整体萎缩的原因除侵蚀作用外,还可能是
 A. 河道来沙量减少
 C. 河岸护坡工程建设
 B. 河道的水位升高
 D. 河道洪峰流量增加

(2022·湖南卷)位于中亚的某内陆咸水湖,拥有较丰富的湿地和动植物资源,该湖泊近60年水量变化显著。湖滨地下水与湖泊互为补给,但补给量较少。右图示意该湖泊1961~2020年各时期入湖地表径流量、降水量、蒸发量的变化。据此完成13~15题。

13. 引起该湖泊近60年水量变化的主导因素是
 A. 气温 B. 降水量
 C. 蒸发量 D. 地表径流量

14. 推测湖滨地下水补给该湖泊较多的时期是
 A. 1961~1979年 B. 1970~1989年
 C. 1980~1999年 D. 2000~2020年

15. 与20世纪80年代相比,2000年以来该湖泊湖岸地区
 A. 沙尘天气增多 B. 灌溉面积扩大
 C. 湖岸线较稳定 D. 绿洲面积增加

选择题答题栏

题号	1	2	3	4	5	6	7	8	9	10
答案										
题号	11	12	13	14	15					
答案										

二、综合题(本大题共有4小题,共55分)

16.(2019·江苏卷)(15分)阅读材料,完成下列问题。

材料一 恒河、布拉马普特拉河分别源于喜马拉雅山的南、北麓,并在达卡西北汇合成恒河—布拉马普特拉河水系,最后注入孟加拉湾,流域总面积超过170万平方千米,年径流总量约1.3万亿立方米,年输沙量超过10.6亿吨,形成了世界上最大的河口三角洲。

材料二 图1为恒河—布拉马普特拉河流域概况及其部分城市气候资料图,图2为恒河—布拉马普特拉河水系的月平均流量图。

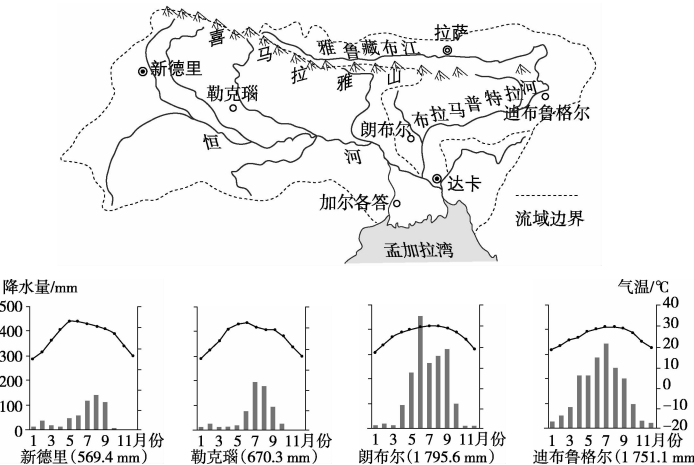


图1

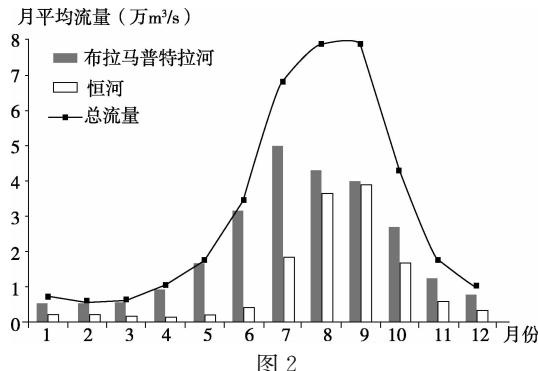


图2

(1)恒河—布拉马普特拉河的主要补给类型有_____。(3分)

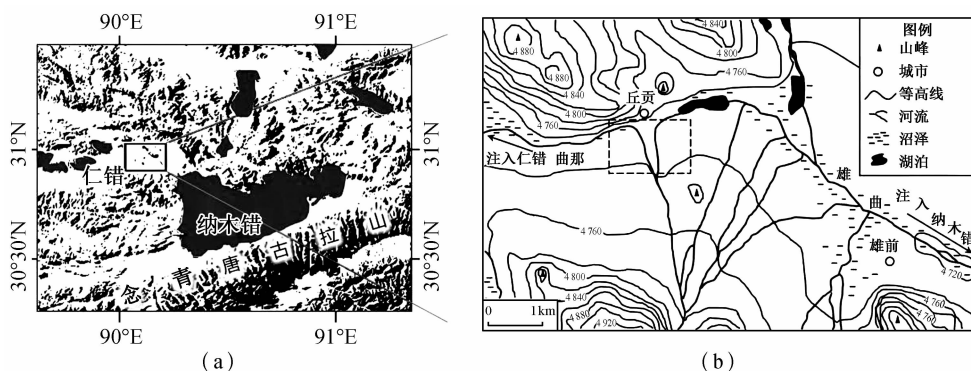
(2)比较恒河、布拉马普特拉河月平均流量的差异并解释其成因。(4分)

(3)分析恒河—布拉马普特拉河水文特征对三角洲地区的影响。(4分)

(4)为促进流域内经济社会发展,指出水资源合理利用的途径。(4分)

17.(2022·广东卷)(14分)阅读图文材料,完成下列问题。

纳木错位于念青唐古拉山北侧,湖泊面积 $2\,015 \text{ km}^2$,湖面海拔4 718 m。在其沿岸,曾发现高于现代湖面30 m的古湖岸线。仁错位于纳木错西侧,湖面海拔4 648 m。雄曲和那曲两河分别汇入纳木错和仁错。纳木错地处夏季风影响边缘区,冬半年盛行西风,在10~11月期间,湖泊东侧区域降水相对较多。图(a)示意纳木错和仁错所在区域自然地理环境;图(b)示意两湖分水岭区域水系与地形特征。



(1) 分析 10~11 月期间纳木错东侧区域降水相对较多的原因。(4 分)

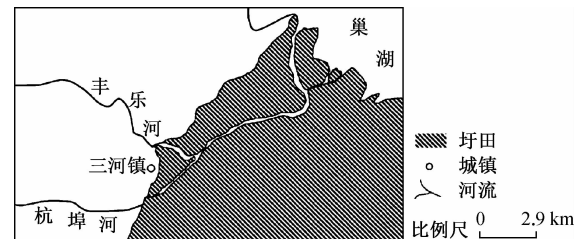
(2) 结合河流侵蚀的知识,分析图(b)中虚线框所示区域水系演化过程与趋势。(6 分)

(3) 从全球变暖的角度考虑,说明未来纳木错能够与仁错贯通的理由。(4 分)

18. (2021·全国乙卷)(12分)阅读图文材料,完成下列问题。

圩田是在低洼地筑堤围出的田地。右图所示圩田海拔 6~7 米,种植庄稼;巢湖多年平均水位 8.03 米。据记载,在清朝嘉庆年间,三河镇濒临巢湖。

(1) 分析图示河流三河镇以下河段的形成。(6 分)

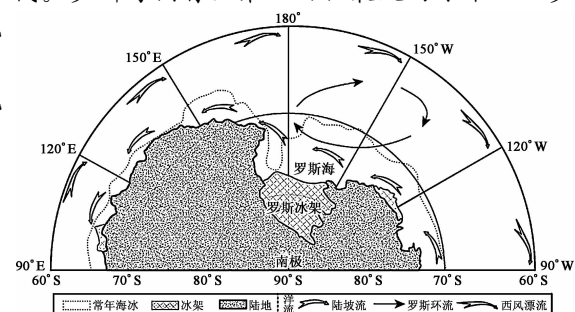


(2) 说明这些圩田易发水灾的原因。(6 分)

19. (2021·广东卷)(14分)阅读图文材料,完成下列问题。

从冰架分离后漂浮在海上的冰山被形象地称为冰筏。罗斯海拥有世界上面积最大的冰架——罗斯冰架,是南极大陆周边冰山输出最强的海区,洋流环境复杂。随着全球变暖,近年来罗斯冰架崩离、消融明显。模拟结果表明,若变暖进一步增强,南极地区的降水会更多地以降雨的形式出现。右图示意罗斯海所在区域的地理环境。

(1) 简述罗斯环流形成的主要影响因素。(6 分)



(2) 分析从罗斯冰架分离入海后的冰筏漂移的动力机制。(4 分)

(3) 更多以降雨形式出现的降水会加速南极海冰融化,对其原因给出合理解释。(4 分)

最新 5 年高考真题分类优化精练 · 地理卷(七)

人口 乡村和城镇

满分分值: 100 分

本卷主要精练内容: 人口分布、人口迁移、人口容量、乡村和城镇空间结构、城镇化。

一、选择题(本大题共 15 小题, 每小题 3 分, 共 45 分。在每小题给出的四个选项中, 只有一个选项是符合题目要求的)

(2021·湖南卷)永久迁移是指户籍发生改变的人口迁移类型; 务工迁移是指离开户籍地外出务工的人口迁移类型(不包括永久迁移)。右图示意 1990~2015 年我国人口迁移的数量变化, 图中永久迁移人数为每五年的累积数量, 务工迁移人数为当年的数量。据此完成 1~2 题。

1. 下列叙述正确的是

- A. 1990~2015 年的永久迁移人数持续增加
- B. 2000 年以后, 永久迁移的累积人数下降
- C. 1990~2015 年的务工迁移人数呈下降趋势
- D. 1990~1995 年的务工迁移人数增速比 2005~2010 年的慢

2. 2010 年后务工迁移人数明显下降的主要原因是

- ①“三农”政策利好
- ②出生人口数量减少
- ③2008 年国际金融危机影响
- ④第二、三产业产值比重降低

- A. ①②
- B. ①③
- C. ②④
- D. ③④

(2022·江苏卷)我国于 2010 年和 2020 年分别进行了第六次全国人口普查(“六普”)、第七次全国人口普查(“七普”)。右图为我国大陆 31 个省、自治区、直辖市“六普”“七普”人口增长差异图。据此完成 3~5 题。

3. “七普”与“六普”人口增长率相等的省级行政区是

- A. 京、沪
- B. 黑、吉
- C. 粤、鄂
- D. 渝、黔

4. 我国四个直辖市人口增长的共同特点是

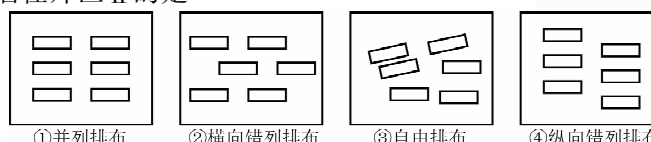
- A. “六普”到“七普”期间, 人口加速增长
- B. “六普”到“七普”期间, 人口减速增长
- C. “六普”人口增长率高于全国平均增长率
- D. “七普”人口增长率高于全国平均增长率

5. 随着经济社会的发展, 我国人口

- A. 向城市群集聚
- B. 向中西部迁移
- C. 沿长江带集聚
- D. 分布更加均衡

(2020·全国 I 卷)为获得冬季防风、夏季通风的效果, 我国东北平原的某城市对一居住区进行了相应的建筑布局规划, 规划建筑物为高层(7 层以上)和多层(7 层或以下)。右图示意在该居住区内规划的两个居住片区、道路、出入口及当地盛行风向。据此完成 6~8 题。

6. 下列建筑布局中, 适合居住片区 II 的是

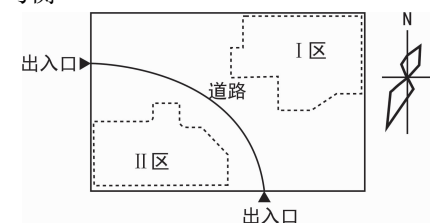
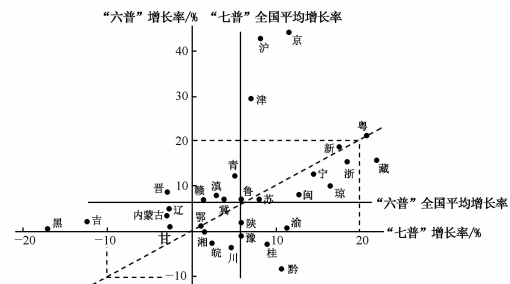
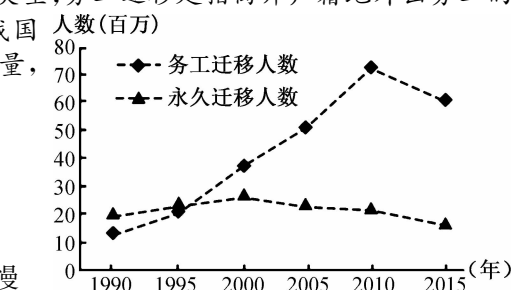


- A. ①
- B. ②
- C. ③
- D. ④

7. 相对居住片区 II, 居住片区 I 的建筑布局宜

- ①建筑密度大
- ②建筑密度小
- ③以高层建筑为主
- ④以多层建筑为主

- A. ①③
- B. ①④
- C. ②③
- D. ②④



8. 该居住区出入口的设计主要是为了避开

- A. 春季盛行风
- B. 夏季盛行风
- C. 秋季盛行风
- D. 冬季盛行风

(2022·广东卷)右图反映国内某城市群15个城市1990~2018年城市建设用地规模及排序的变动情况。据此完成9~10题。

9. 由图可判断,该城市群呈现

- A. 单核模式发展
- B. 双核模式发展
- C. 多核模式发展
- D. 金字塔式发展

10. 影响各城市建设用地规模变化的主要因素是

- ①人口规模 ②产业发展 ③建城历史 ④生态环境
- A. ①② B. ①④
- C. ②③ D. ③④

(2022·浙江卷)高铁对城市的空间结构、产业升级和居民出行影响显著。高铁新城产业发展方向与其依托城市密切相关。右图为某高铁新城空间结构示意图。据此完成11~12题。

11. 该高铁新城空间结构,布局合理的是

- A. I 主要功能为科研、行政等
- B. II 主要功能为商贸、商务办公等
- C. II 建筑密度和建筑高度均大于I
- D. III 主要功能为居住、文化、教育等

12. 高铁新城发展方向与其依托城市相匹配的是

- A. 零售等生活型服务业——旅游城市
- B. 金融等现代服务业——传统工业城市
- C. 物流等生产型服务业——转型升级城市
- D. 高新技术创新型服务业——都市圈核心城市

(2021·湖北卷)亦庄新城由1992年开始建设的北京经济技术开发区(简称开发区)发展而来,起步面积约 4 km^2 ,目前面积已达 66 km^2 。根据《亦庄新城规划(2017年~2035年)》,未来将建成为面积达 225 km^2 的北京科技成果转化承载区和产城融合、宜业宜居的综合新城。右图示意亦庄新城规划功能区布局。据此完成13~15题。

13. 图中所反映的城市化表现是

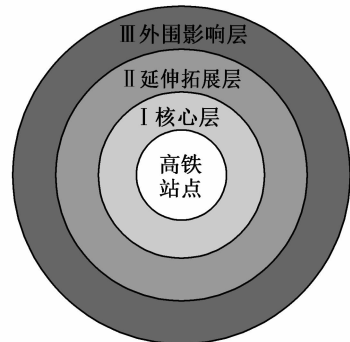
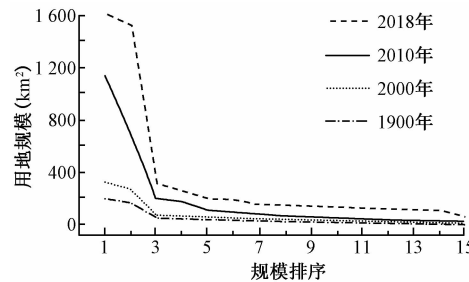
- ①人口规模持续扩大 ②地价向北部地区递增 ③用地规模不断扩张 ④人口向中心城区集聚
- A. ①② B. ①③
- C. ②③ D. ③④

14. 开发区发展成为亦庄新城的主要驱动力是

- A. 劳动力丰富 B. 市场广阔
- C. 产业集聚 D. 环境优美

15. 有利于亦庄新城未来建设的措施是

- ①完善公共服务设施 ②保障各功能区等量投入 ③建立智慧交通体系 ④建设产业协同创新平台
- A. ①②③ B. ①②④
- C. ①③④ D. ②③④



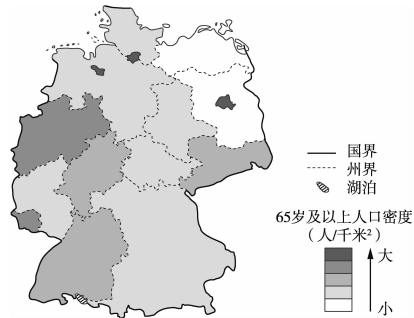
选择题答题栏

题号	1	2	3	4	5	6	7	8	9	10
答案										
题号	11	12	13	14	15					
答案										

二、综合题(本大题共有4小题,共55分)

16.(2019·北京卷)(10分)阅读图文材料,完成下列问题。

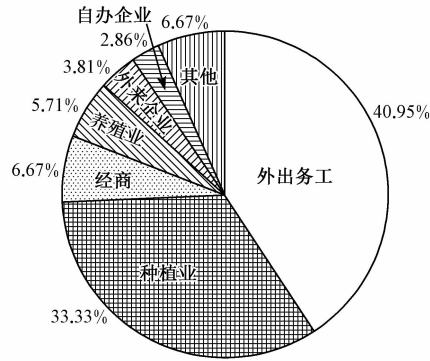
2018年德国65岁及以上人口占总人口数量的20.6%。下图示意德国各州65岁及以上人口密度分布。



描述德国老龄人口密度的分布特征,列举人口老龄化对该国可能带来的影响。

17.(2022·广东卷)(14分)阅读图文材料,完成下列问题。

Z村位于岭南某城市边缘,国道穿村而过,附近有高速公路出入口。2018年全村土地面积1 605.2 hm²,其中农林用地占85.36%,户籍人口3 430人,常住人口2 114人,外出务工人口占38.37%,村民总体收入水平不高。该村经济以种植与养殖为主,仅有一家自办企业,服务业几乎空白;另有三家外来重工业企业,一个度假村,企业原料与市场“两头在外”。与2008年相比,2018年该村的农林用地显著减少,建设用地增加明显。下图反映2018年该村村民主要收入来源构成。



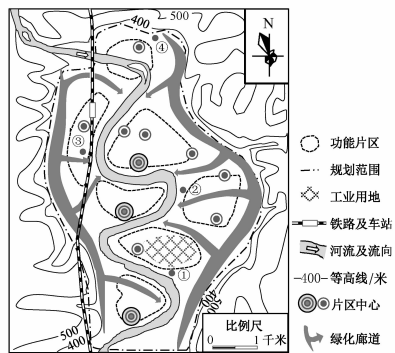
(1)推测2008~2018年该村农林用地显著减少的主要原因。(4分)

(2)分析该村村民外出务工收入占比高的原因。(4分)

(3)从该村与外来企业合作的角度,提出增加村民收入的具体措施。(6分)

18.(2020·江苏卷)(16分)右图为某城市中心城区空间结构规划示意图。读图完成下列问题。

(1)简述该城市空间形态类型及其影响因素。(4分)



(2)指出①~④地中最宜布局高品质住宅区的地点,并说明理由。(6分)

(6分)

(3)简析该城市规划可能对市民生活产生的影响。(6分)

19.(2019·江苏卷)(15分)阅读图文材料,完成下列问题。

材料一 2018年,国务院正式批复《呼包鄂榆城市群发展规划》,旨在将其培育发展成为中西部地区具有重要影响力的城市群。呼包鄂榆城市群地处我国半干旱半湿润地区,面积17.5万平方千米,常住人口1138.4万人,城市化率达69.3%,目前已拥有呼和浩特、包头两座大城市和鄂尔多斯、榆林两座中等城市,有世界最大的稀土矿床以及丰富的煤炭、石油、天然气、石墨、铁矿等矿产资源。

材料二 图1为呼包鄂榆城市群概况图,图2为呼包鄂榆城市群演化示意图。

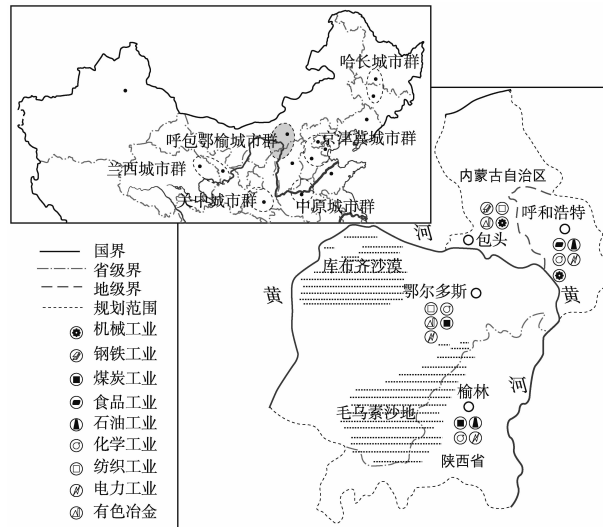


图1

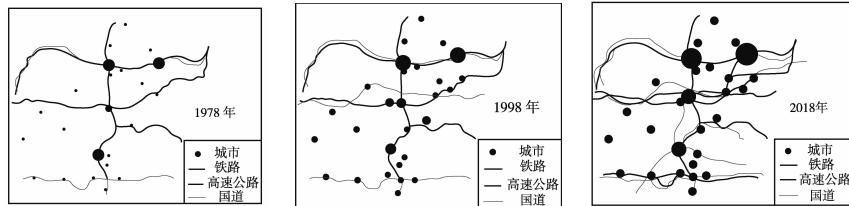


图2

(1)改革开放以来该地区城市化主要表现为_____。(4分)

(2)依据当地资源条件,指出呼包鄂榆城市群可重点发展的优势产业。(4分)

(3)指出呼包鄂榆城市群发展过程中应协同应对的生态和环境问题。(4分)

(4)简述呼包鄂榆城市群建设对国内其他城市群及对外开放的作用。(3分)

最新 5 年高考真题分类优化精练 · 地理卷(十一)

区域与区域发展 资源、环境与区域发展

满分分值: 100 分

本卷主要精练内容: 区域与区域发展、区域发展的自然环境基础、生态脆弱区的综合治理、资源枯竭型城市的转型发展。

一、选择题(本大题共 15 小题,每小题 3 分,共 45 分。在每小题给出的四个选项中,只有一个选项是符合题目要求的)

(2020 · 全国Ⅱ卷)地名常和所在地特定时期的地理环境有关。右图所示区域有 1 700 多个行政村,其中 85% 以上村名与自然要素或地理方位等有关。该区域处于毛乌素沙地与黄土高原的过渡地带。据此完成 1~2 题。

1. 与图示区域中地名“河”“梁”“柳”相关的自然要素依次是

- A. 水文、地貌、植被
- B. 地貌、水文、植被
- C. 植被、地貌、水文
- D. 水文、植被、地貌

2. 图示甲、乙两地区地名中“河”“沟”“湾”等出现的比例很高,表明乙地区

- A. 风俗习惯改变
- B. 土地利用结构稳定
- C. 人口迁徙频繁
- D. 自然环境变化较大

(2022 · 广东卷)交通是城市间要素流动的重要载体,不同的交通流模式能够反映出城市间的相互联系状况。有学者基于 G 省 2019 年 9 月的日平均车流量数据信息,提出了该省高速公路交通流三种模式(如右图)。据此完成 3~4 题。

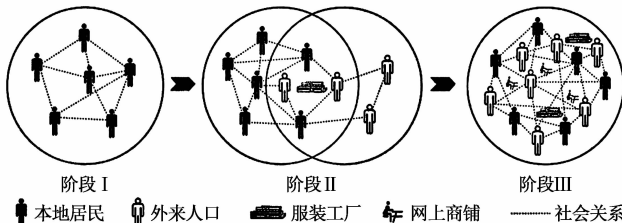
3. 这三种模式中,对一般城市向区域中心城市要素集聚起促进作用

- A. 最大的是甲模式
- B. 最大的是乙模式
- C. 最大的是丙模式
- D. 三种模式一样大

4. 从丙模式判断,各区域中心城市之间存在

- A. 职能一致性
- B. 区域均衡性
- C. 空间封闭性
- D. 等级差异性

(2022 · 江苏卷)近四十年来,我国乡村地区经济形态、土地利用、社会结构和生态环境等方面发生着深刻变化。下图为网商集聚的某村落社会关系网络演变示意图。此完成 5~6 题。



5. 从阶段 I 演变到阶段 III,该村落社会关系网络逐步

- A. 多元化
- B. 内向化
- C. 等级化
- D. 中心化

6. 该村落社会关系网络演变的主要驱动力是

- A. 历史文化传承
- B. 工业与信息化
- C. 自然环境变迁
- D. 交通区位变化

(2021 · 辽宁卷)依据林区自然环境特点和林木状况进行间伐(有选择地砍伐部分树木)是林区管理的有效途径。20 世纪 90 年代,甘肃省南部某林区对部分区域进行不同强度的间伐,而后继续封山育林。

2011年研究人员在该林区选择自然环境相近的4个样地进行调查。下表为部分调查结果。据此完成7~8题。

样地	幼苗密度/株·hm ⁻²	乔木蓄积量/m ³ ·hm ⁻²
无间伐区	1 500	3 935
轻度间伐区	1 900	2 721
中度间伐区	2 300	2 066
重度间伐区	5 700	1 983

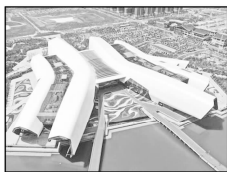
7. 依据表格信息可得

- A. 间伐强度强的林区, 幼苗生长条件好
- C. 无间伐区光照条件最弱, 幼苗生长环境最好

8. 该林区间伐主要是为了

- A. 控制森林成林比例, 节约水资源
- C. 促进森林更新, 维护生物多样性

(2020·天津卷)天津滨海新区发挥临海优势,采取多种举措,促进区域可持续发展。读图文材料,完成9~10题。



海洋博物馆



航母主题公园



妈祖文化园



“渔家乐”码头

9. 集中分布在滨海新区北部的四处景观,共同反映了当地着力发展的产业是

- A. 船舶制造与维修
- B. 海洋文化旅游
- C. 水产养殖与捕捞
- D. 远洋货物运输

10. 政府有关部门在沿海滩涂上放置人工礁石,引种盐生植物,其目的主要是



- A. 保护海岸,净化海水
- C. 增加湿地,吸引鸟类

(2020·全国Ⅰ卷)治沟造地是陕西省延安市对黄土高原的丘陵沟壑区,在传统打坝淤地的基础上,集耕地营造、坝系修复、生态建设和新农村发展为一体的“田水路林村”综合整治模式,实现了乡村生产、生活、生态协调发展(如右图所示)。据此完成11~13题。

11. 与传统的打坝淤地工程相比,治沟造地更加关注

- A. 增加耕地面积
- B. 防治水土流失
- C. 改善人居环境
- D. 提高作物产量

12. 治沟造地对当地生产条件的改善主要体现在

- A. 优化农业结构
- B. 方便田间耕作
- C. 健全公共服务
- D. 提高耕地肥力

13. 推测开展治沟造地的地方

- ①居住用地紧张
- ②生态环境脆弱
- ③坡耕地比例大
- ④农业生产精耕细作

A. ①③

B. ①④

C. ②③

D. ②④

(2022·山东卷)嘉峪关地处河西走廊中部,1955年该地区发现铁矿,1958年依托国家“一五”计划重点项目建立钢铁厂,1965年设嘉峪关市。随着钢铁工业的发展,嘉峪关市逐步形成了以冶金为主的工业体系。2019年,该市三次产业结构为1.7:62.8:35.5。据此完成14~15题。

14. 该市第一产业比重较低的主要影响因素是

- A. 交通运输
- B. 自然资源
- C. 市场需求
- D. 劳动力

15. 该市在推进产业结构优化过程中宜重点发展

- A. 造纸工业
- B. 纺织工业
- C. 食品加工工业
- D. 装备制造业

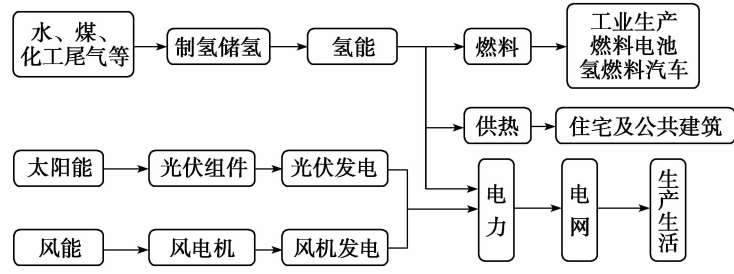
选择题答题栏

题号	1	2	3	4	5	6	7	8	9	10
答案										
题号	11	12	13	14	15					
答案										

二、综合题(本大题共有4小题,共55分)

16.(2021·山东卷)(14分)阅读图文材料,完成下列问题。

山西省大同市是中国大型煤炭能源基地之一,素有“煤都”之称。近年来,大同市多措并举,实现了从“煤都黑”到“大同蓝”的转型。在此过程中,大同市大力发展新能源,把太阳能、风能、煤炭资源富集优势转化为绿色产业优势,打造“新能源产业之都”,并积极融入京津冀协同发展。自2017年以来,大同市相继建设能源改革科技创新产业园和新能源产业城,培育和发展氢能与燃料电池先导、储能蓄能、新能源汽车装备制造、光伏全产业链和煤炭清洁高效利用五大产业集群。下图示意大同市新能源产业链。



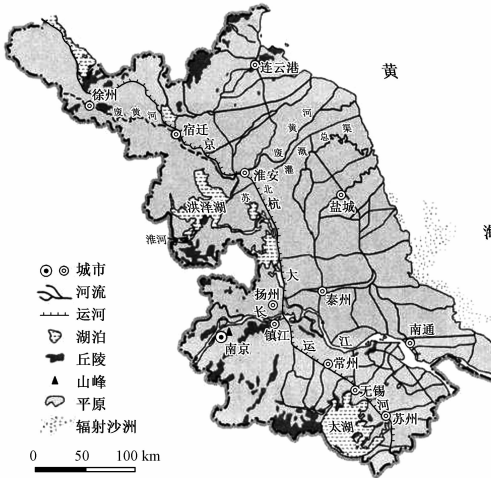
(1)指出与太阳能和风能相比,氢能的优点。(4分)

(2)分析发展新能源产业对大同市产业结构优化的作用。(6分)

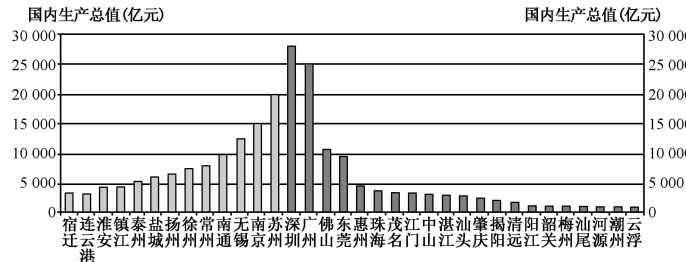
(3)简述大同市打造“新能源产业之都”对京津冀地区的生态意义。(4分)

17.(2022·江苏卷)(14分)阅读图文材料,完成下列问题。

材料一 江苏地势低平,河湖密布,以平原为主,可以概括为“一山二水七分田”。广东除珠江三角洲外,其余地区以山地和丘陵为主,可以概括为“七山一水二分田”。下图为江苏地形图。



材料二 2020年,广东和江苏国内生产总值(GDP)居全国第一、第二位。下图为2020年江苏和广东各地级市GDP统计图。



(1)江苏地形以平原为主,从外力作用分析其形成的主要原因。(6分)

(2)在与广东比较的基础上,概括江苏区域经济发展水平的整体特征。(4分)

(3)为进一步推进江苏区域协调发展,从产业发展的角度提出合理建议。(4分)

18.(2020·全国Ⅲ卷)(14分)阅读图文材料,完成下列问题。

毛乌素沙地中流动沙地、固定沙地与湖泊、河流、沼泽等景观并存。上述景观在自然和人文因素影响下可发生转化。1995~2013年,流动沙地趋于固定,湖沼面积减小。一般而言,风沙沉积越多,风沙活动越强。某科研团队调查1万年以来毛乌素沙地东南部湖沼沉积和风沙沉积数量的变化,结果如图1所示。图2示意毛乌素沙地1995~2013年气温、降水的变化。

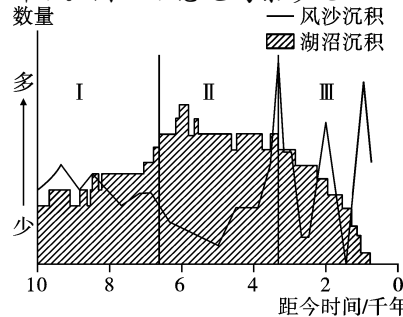


图1

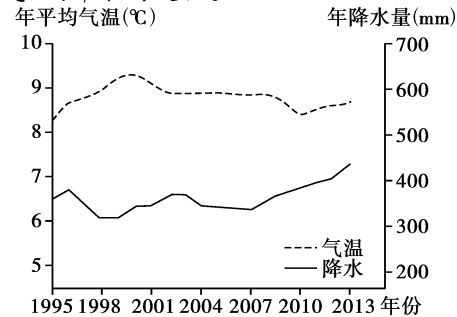


图2

(1)分别简述图1所示I、II、III三个阶段湖沼面积和风沙活动的变化特征,并归纳湖沼面积与风沙活动的关系。(4分)

(2)说明毛乌素沙地1995~2013年流动沙地趋于固定的自然原因。(4分)

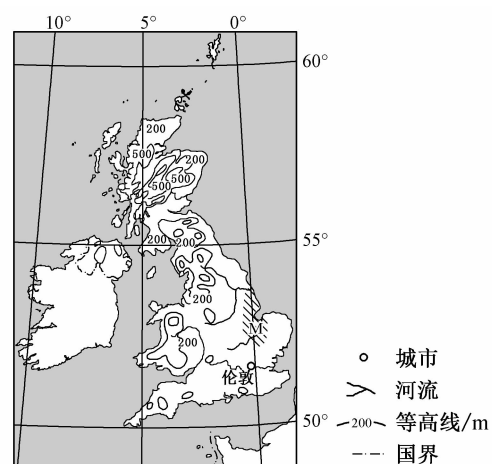
(3)毛乌素沙地1995~2013年湖沼面积减小,试对此做出合理解释。(2分)

(4)近些年来,毛乌素沙地绿化面积逐渐增大,有人认为“毛乌素沙地即将消失”。你是否赞同?表明你的态度并说明理由。(4分)

19.(2021·全国甲卷)(13分)阅读图文材料,完成下列问题。

右图中阴影示意的M地区曾经是湿地(沼泽),年降水量是年蒸发量的1.2~1.5倍,远低于英国西部和北部。在罗马时代,人们对M地区湿地进行了排水尝试,湿地仅得到零星开垦。17世纪,该地引入荷兰风车与水利工程技术,湿地得到成片开垦。经过几百年的开发,M地区已经成为英国重要的农产品生产基地,但也存在诸多问题。

(1)分析M地区排水后能够发展农业的自然条件。(3分)



(2)分析罗马时代和17世纪对M地区湿地开垦结果存在差异的原因。(6分)

(3)推测M地区当前农业发展中存在的主要环境问题。(4分)